

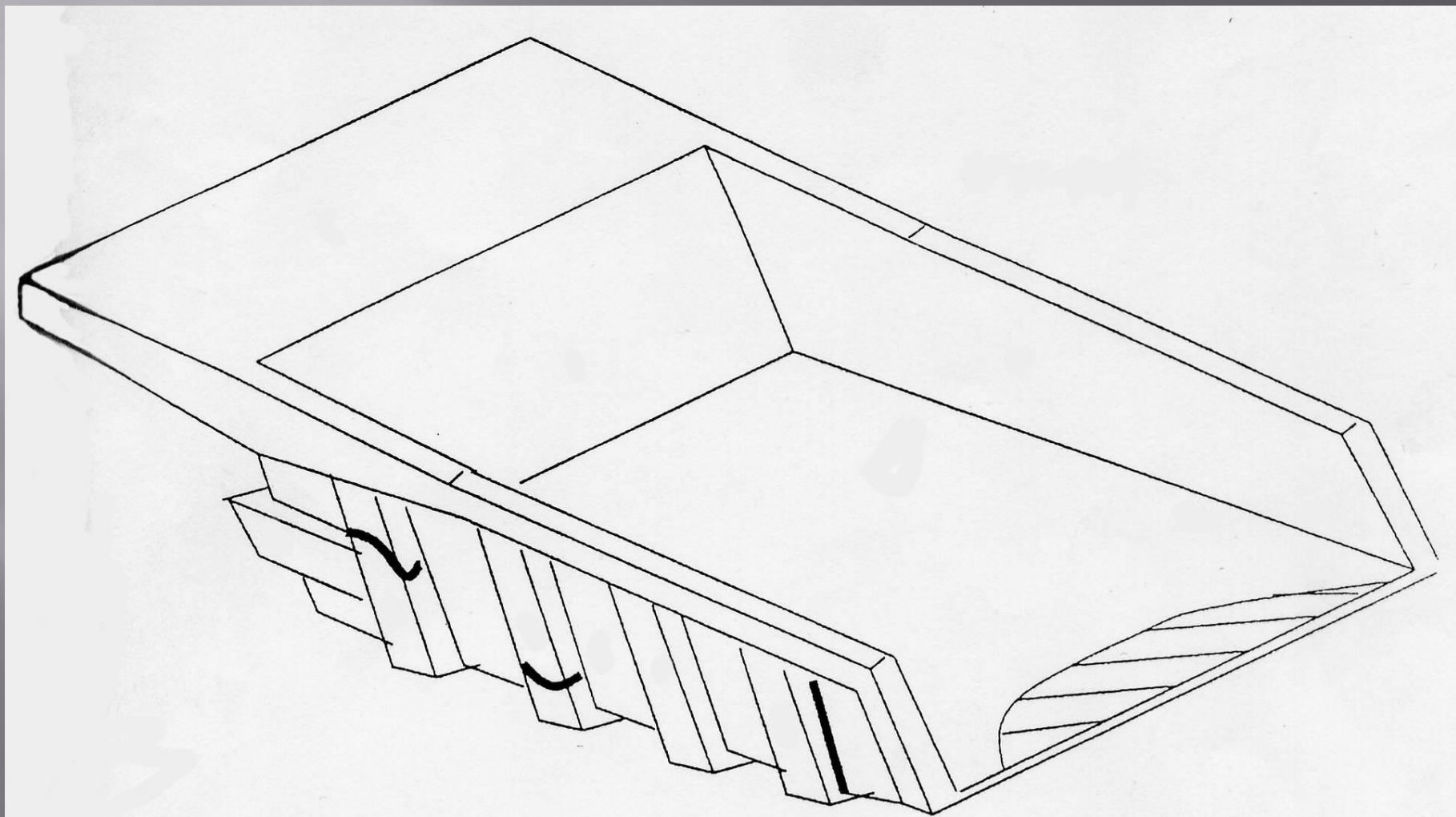
Презентация 20.03.2017



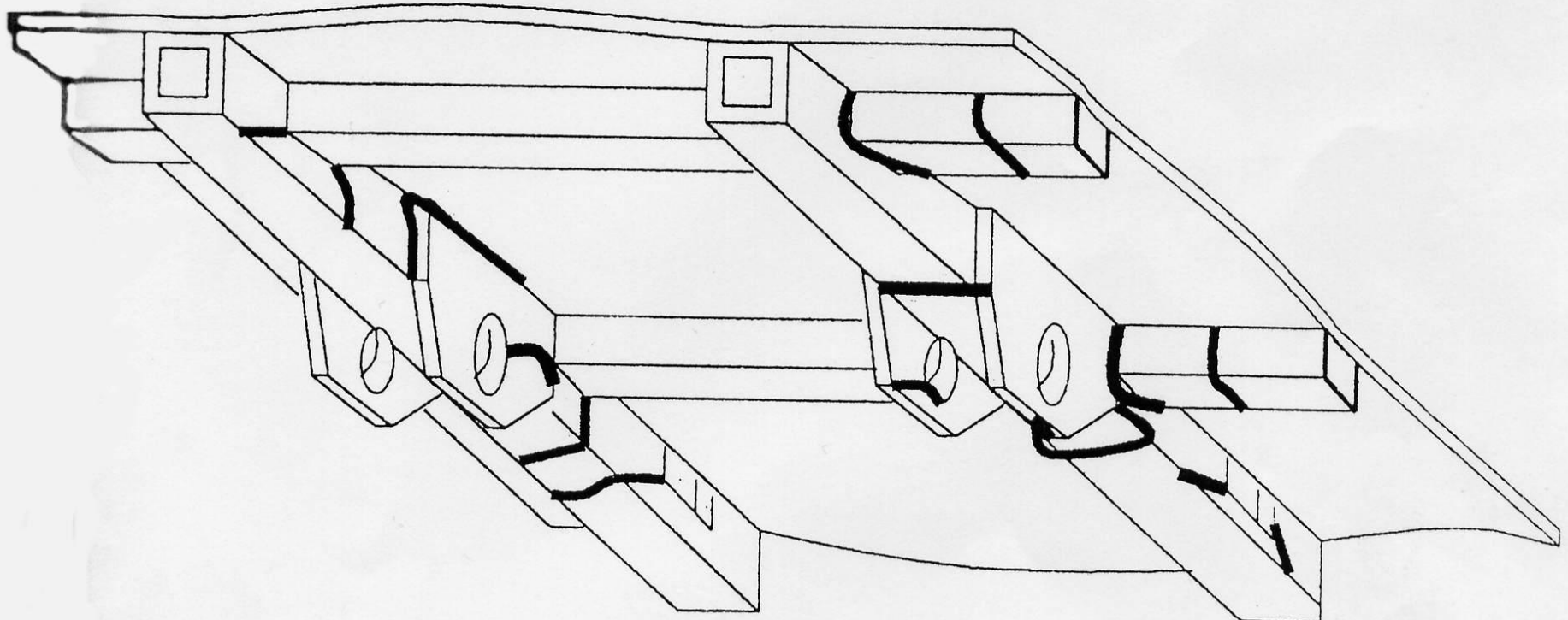
Трещина основного металла картера заднего моста в районе крепления цилиндра подвески и реактивной штанги



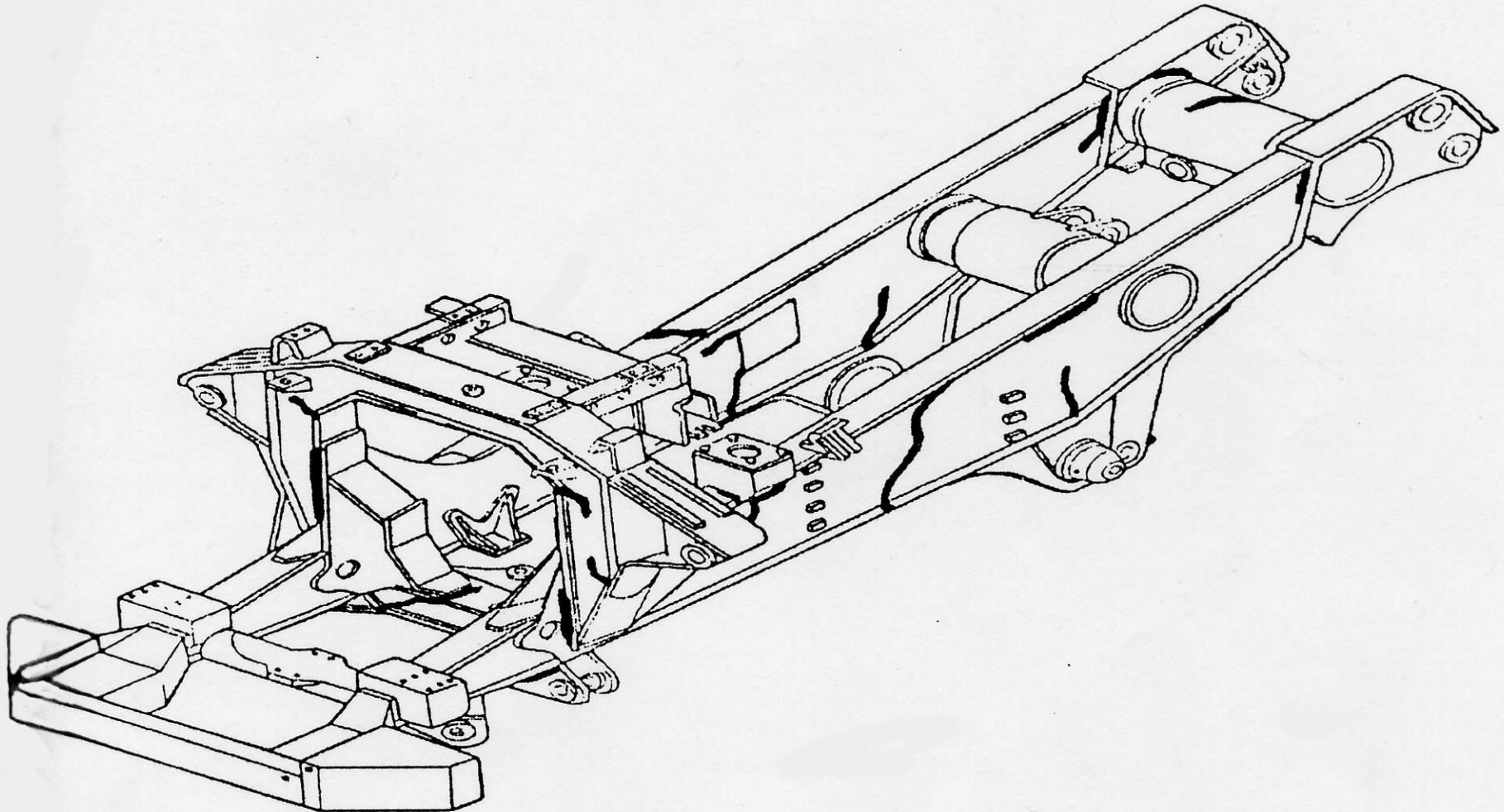
МЕСТА РАЗРУШЕНИЯ КОНТРФОРСОВ И БОРТОВ КУЗОВА



Места разрушения лонжеронов и опор кузова

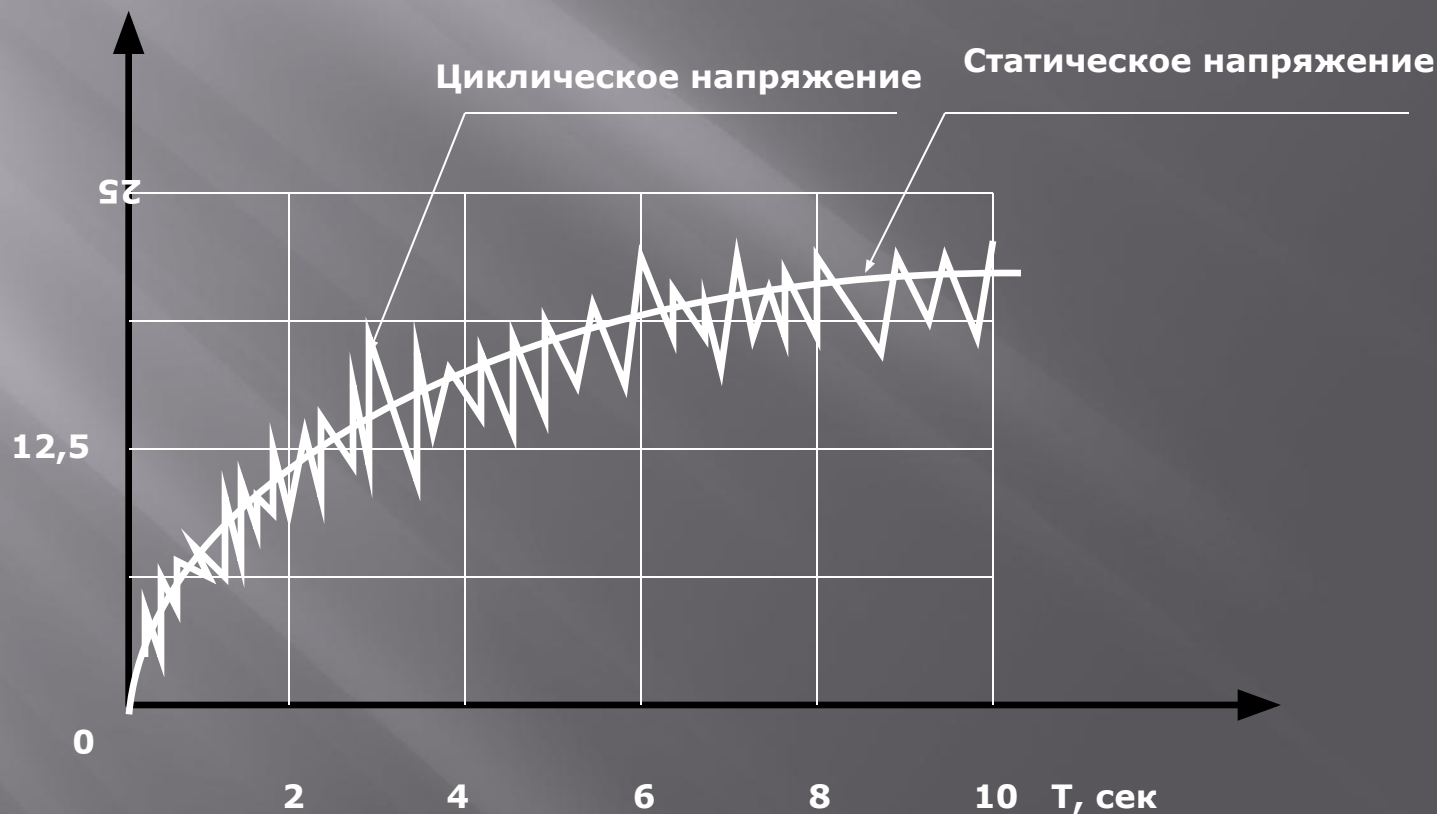


Места разрушения рам

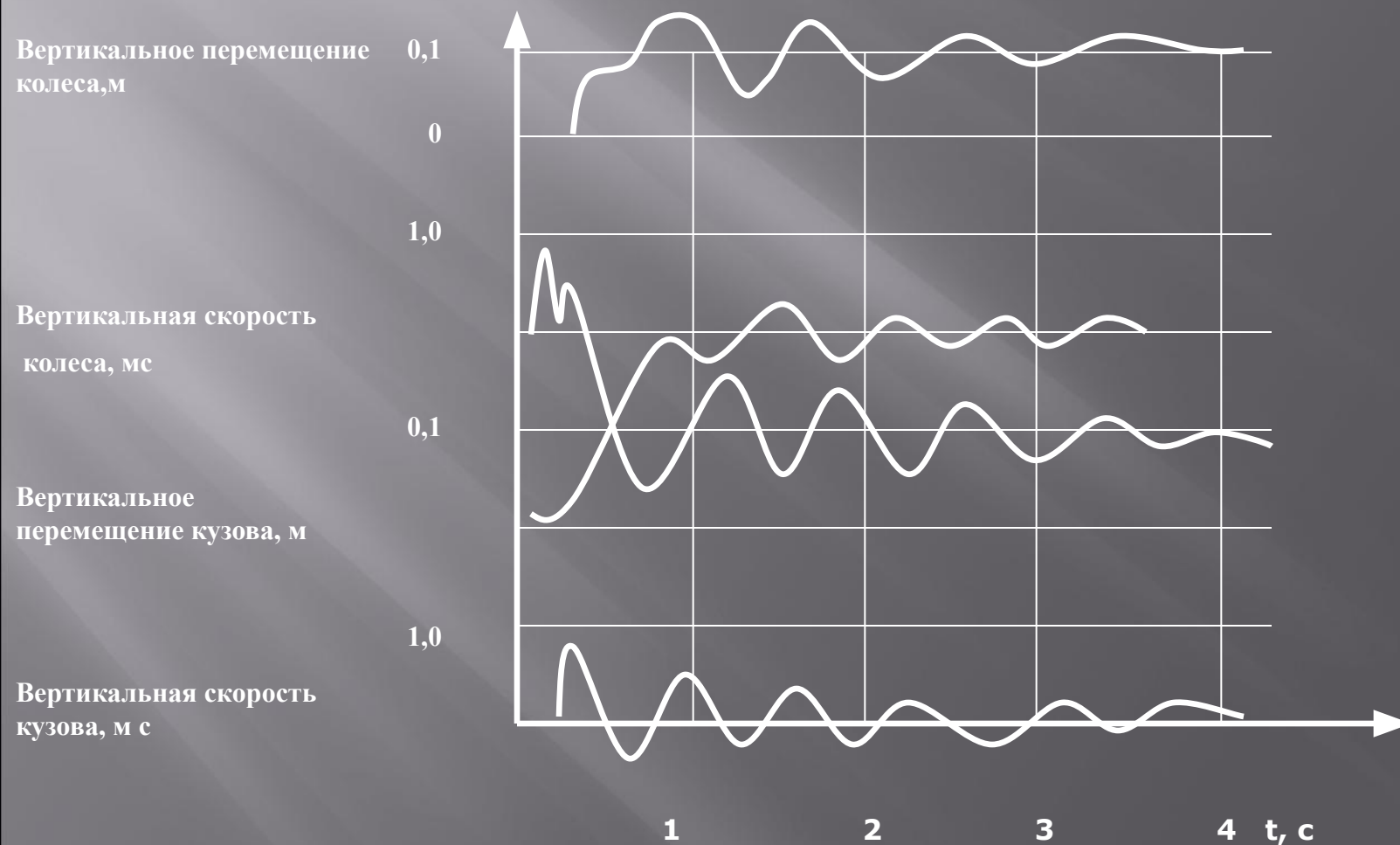


Циклограмма нагружения рамы автосамосвала БЕЛАЗ при загрузке одного ковша емкостью 12,5 м³

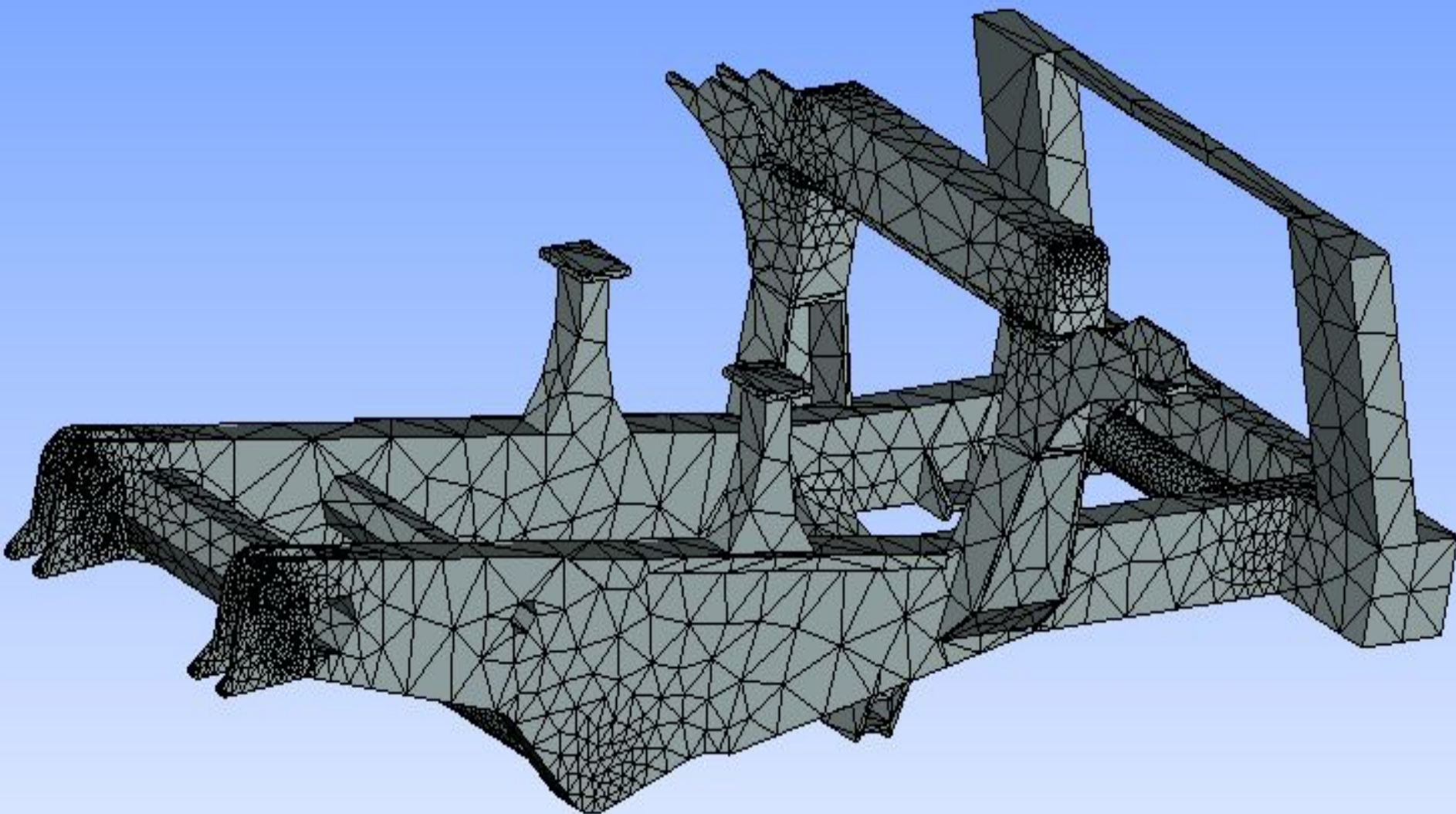
σ
МПА



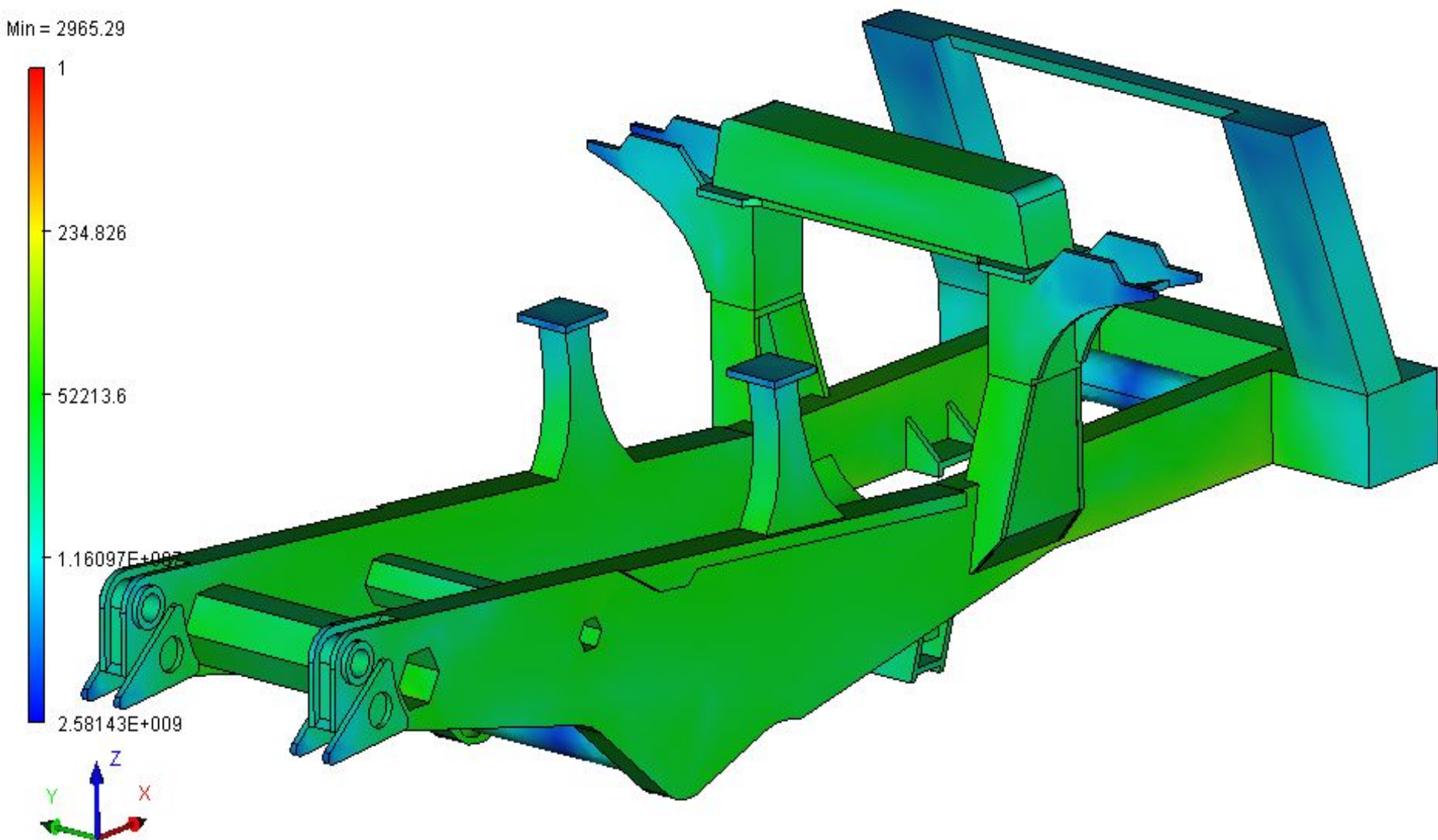
Переходные процессы при наезде автосамосвала на единичную неровность

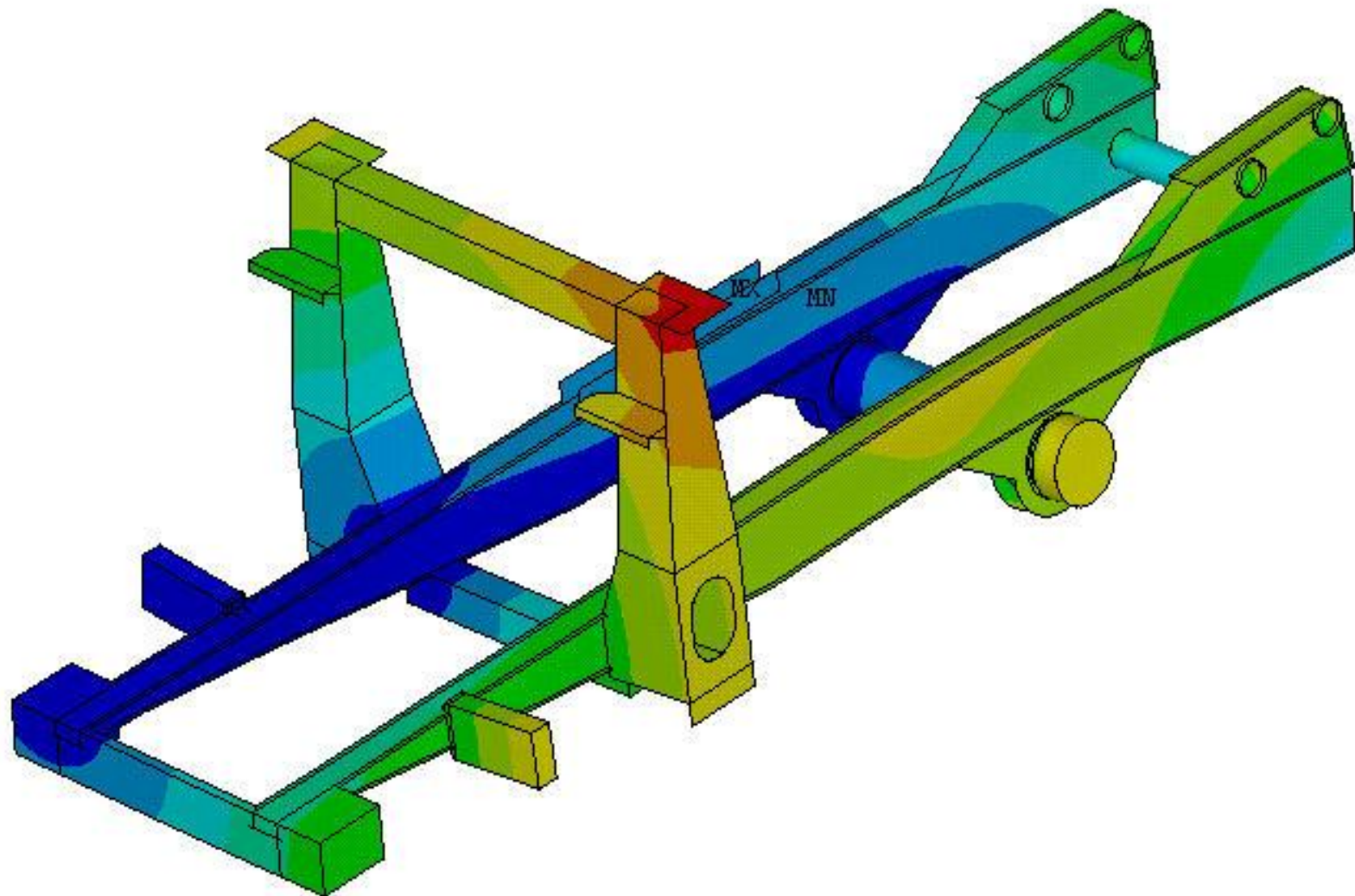


Геометрическая конечно-элементная модель рамы автосамосвала БелАЗ-75131



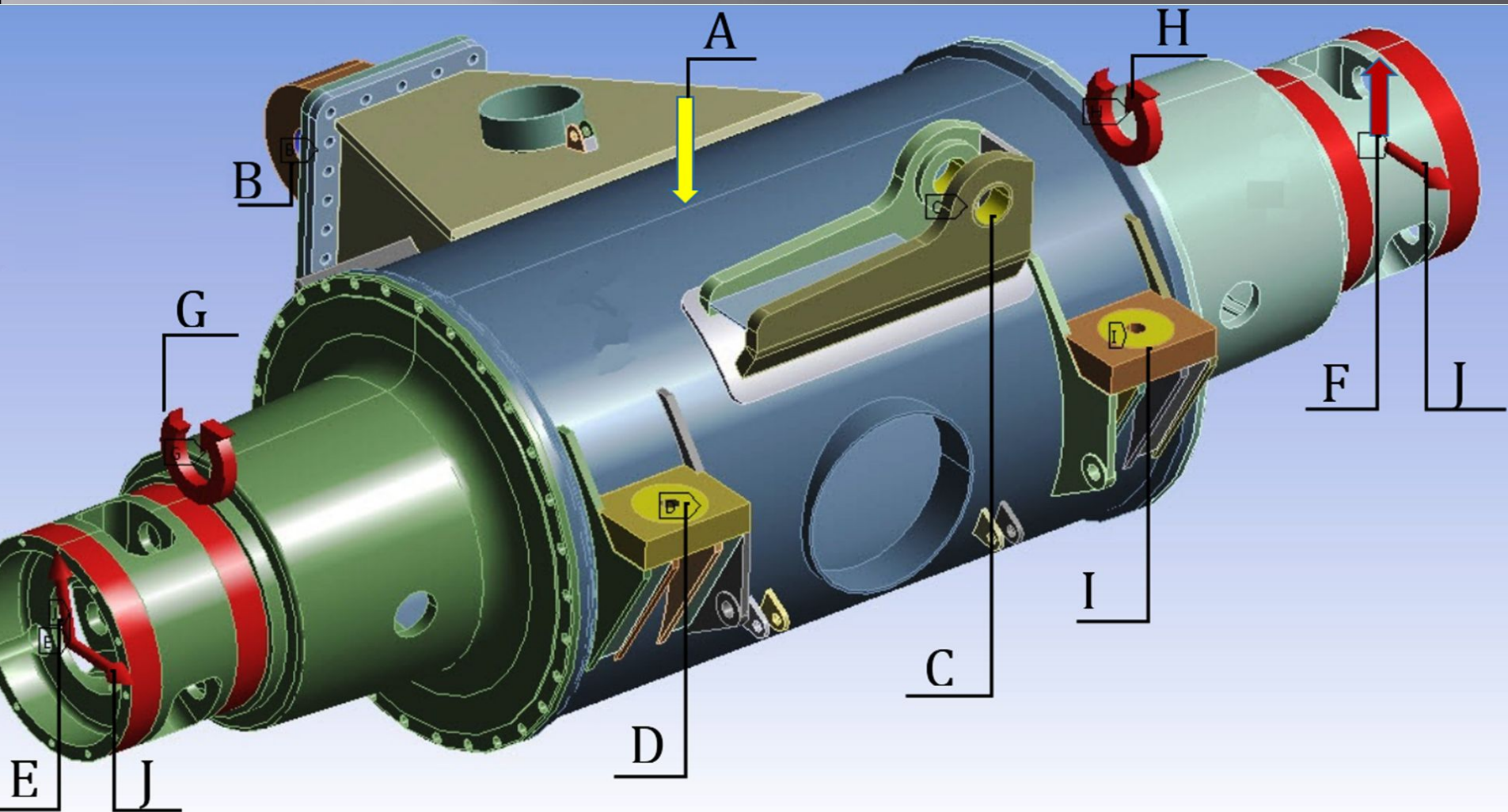
Расчетная конечно-элементная модель рамы автосамосвала БелАЗ-75131





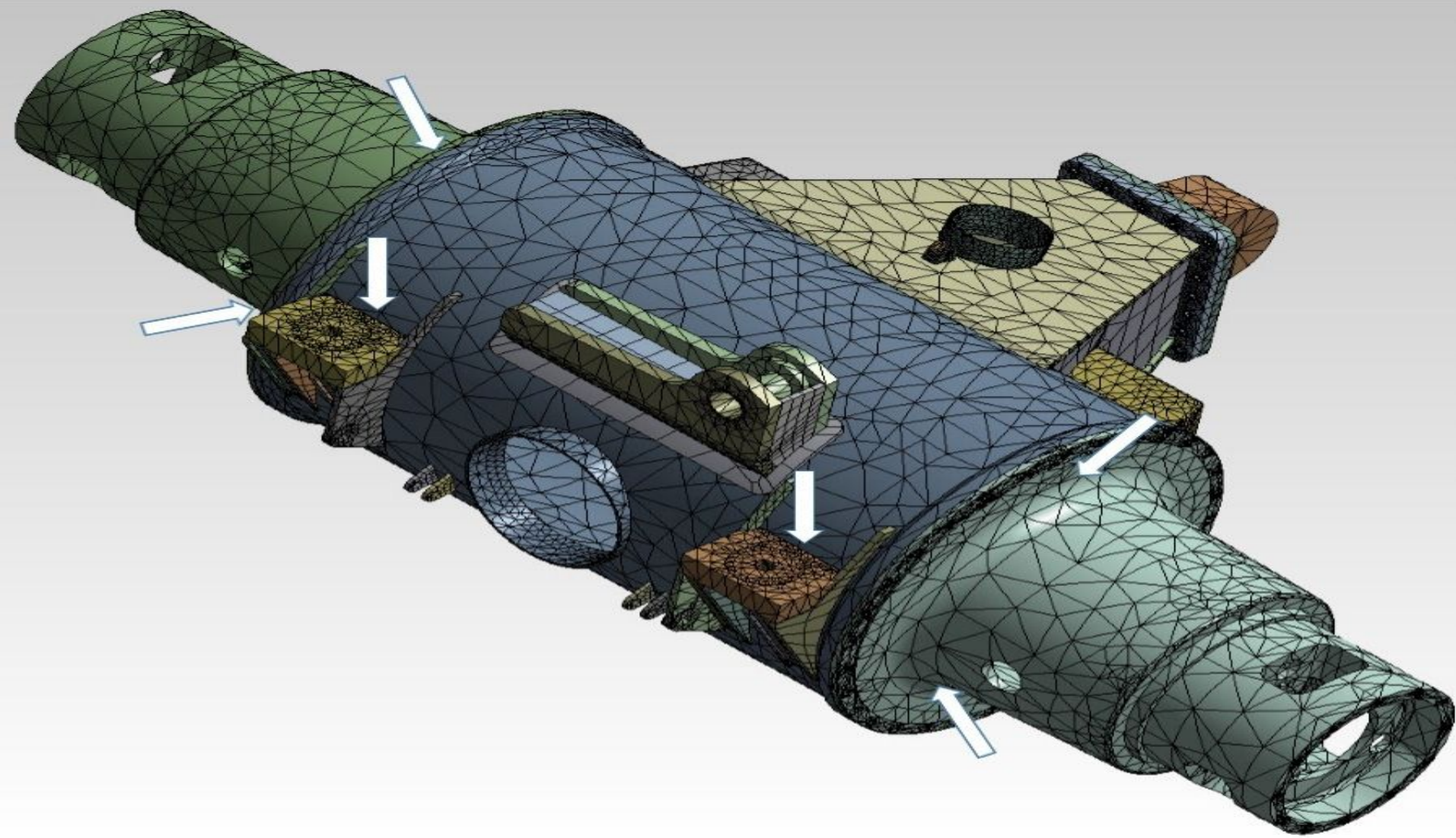
Расчетная схема элементов заднего моста автосамосвала БелАЗ-75131

А - сила тяжести; В - закрепление по цилиндру; С, D, I - закрепления с ограничением;
Е, F - реакция от опоры подшипников; G, H - крутящий момент от вала двигателя; J - тяговая сила.



Участки крепления тензорезисторов (указаны стрелками) на балке заднего моста автосамосвала

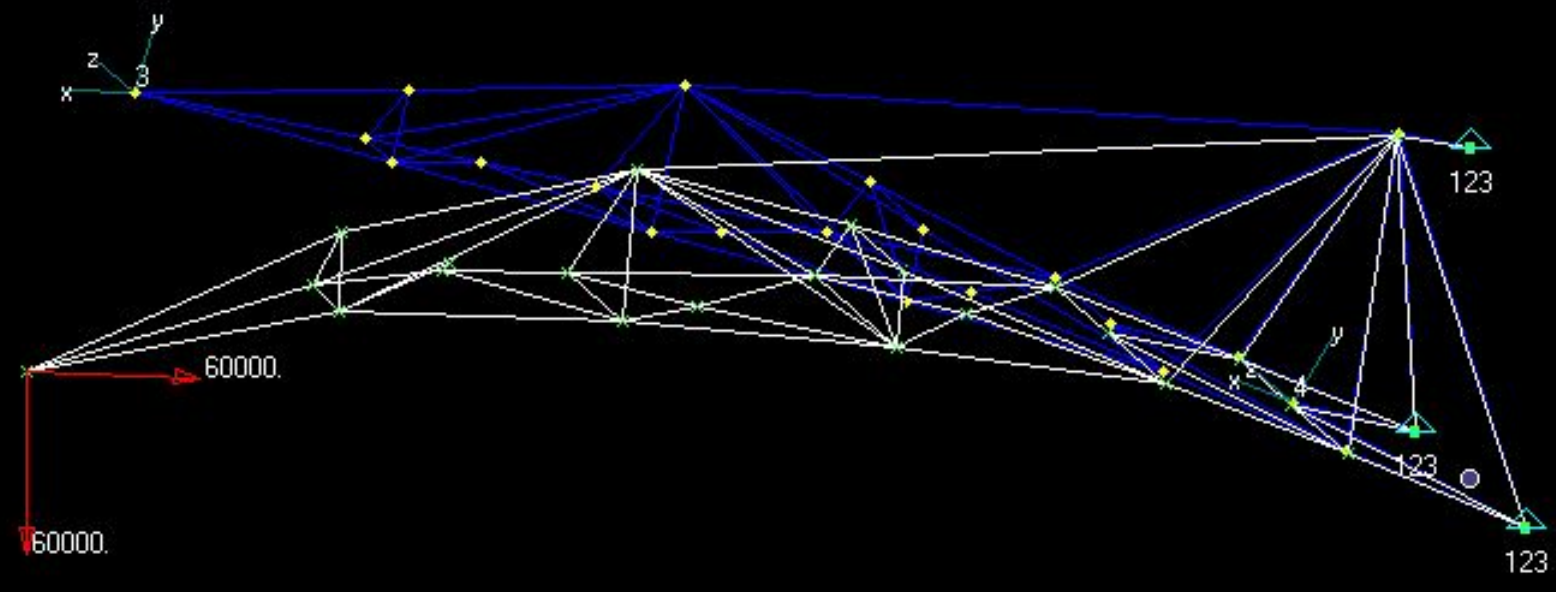
БелАЗ-75131





Default XY View

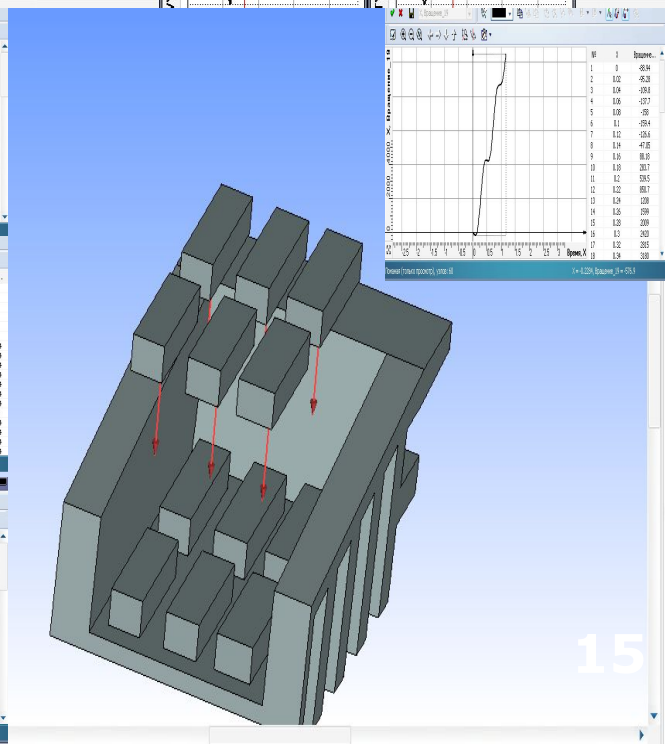
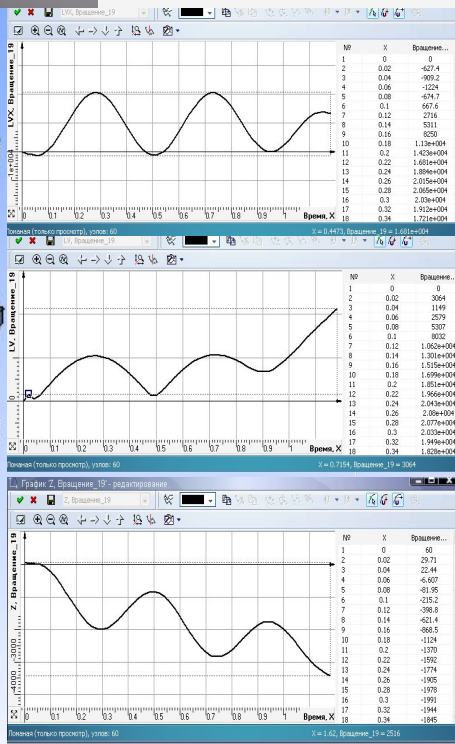
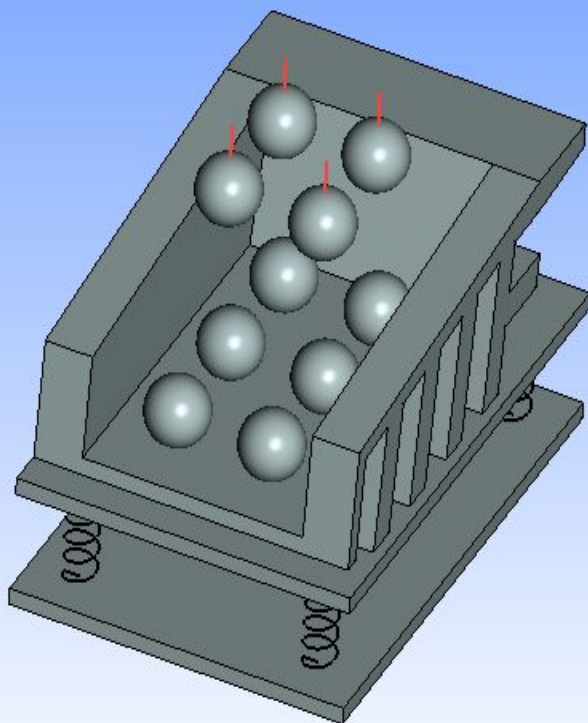
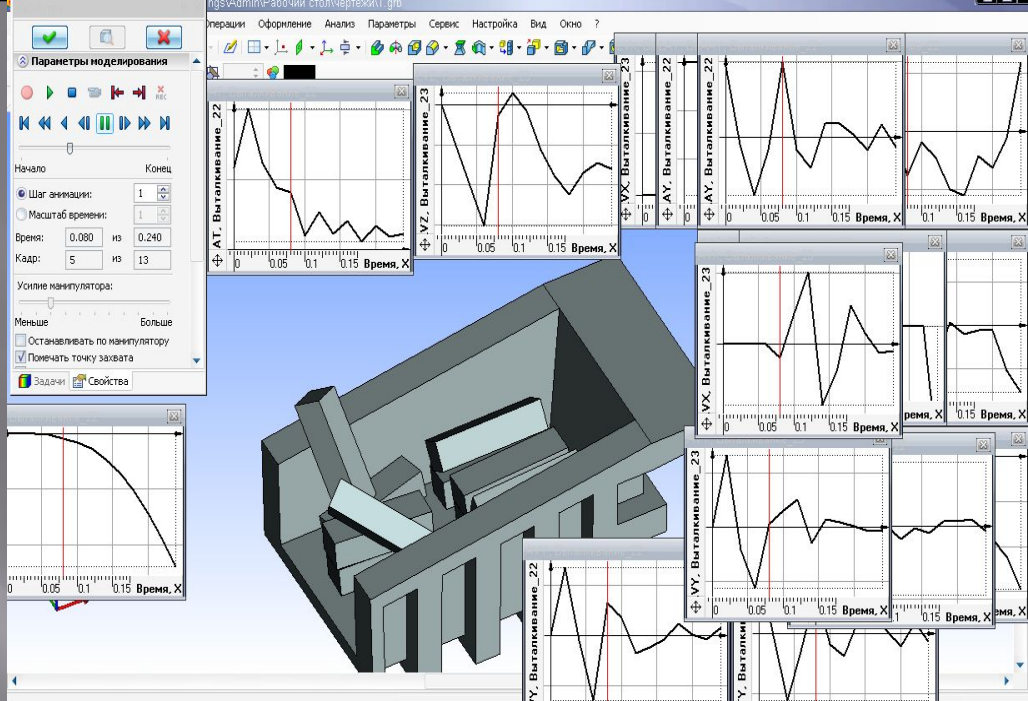
V1
L2
C1



Output Set: MSC/NASTRAN Case 1
Deformed(55.43): Total Translation
Contour: Beam EndA Max Comb Stress



Расчетные модели модуля динамического анализа T-flex.





30/04/2008 13:10

Оборудование мобильных объектов

НАВИГАЦИОННЫЙ БЛОК НБ-03



СИСТЕМА ПЕРЕДАЧИ ДАННЫХ



СИСТЕМА КОНТРОЛЯ ЗАГРУЗКИ, ТОПЛИВА И ДАВЛЕНИЯ В ШИНАХ



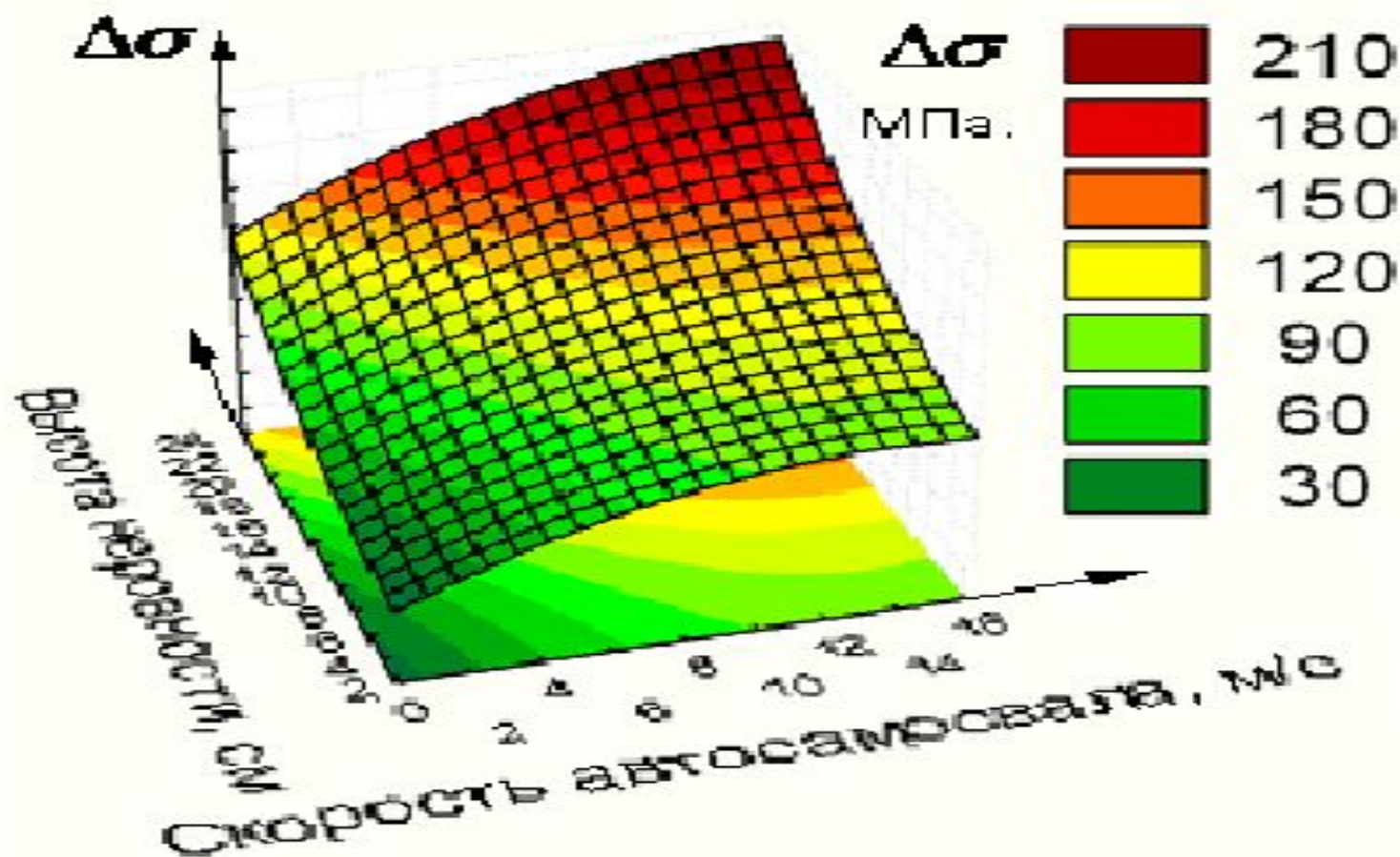
ДАТЧИКИ



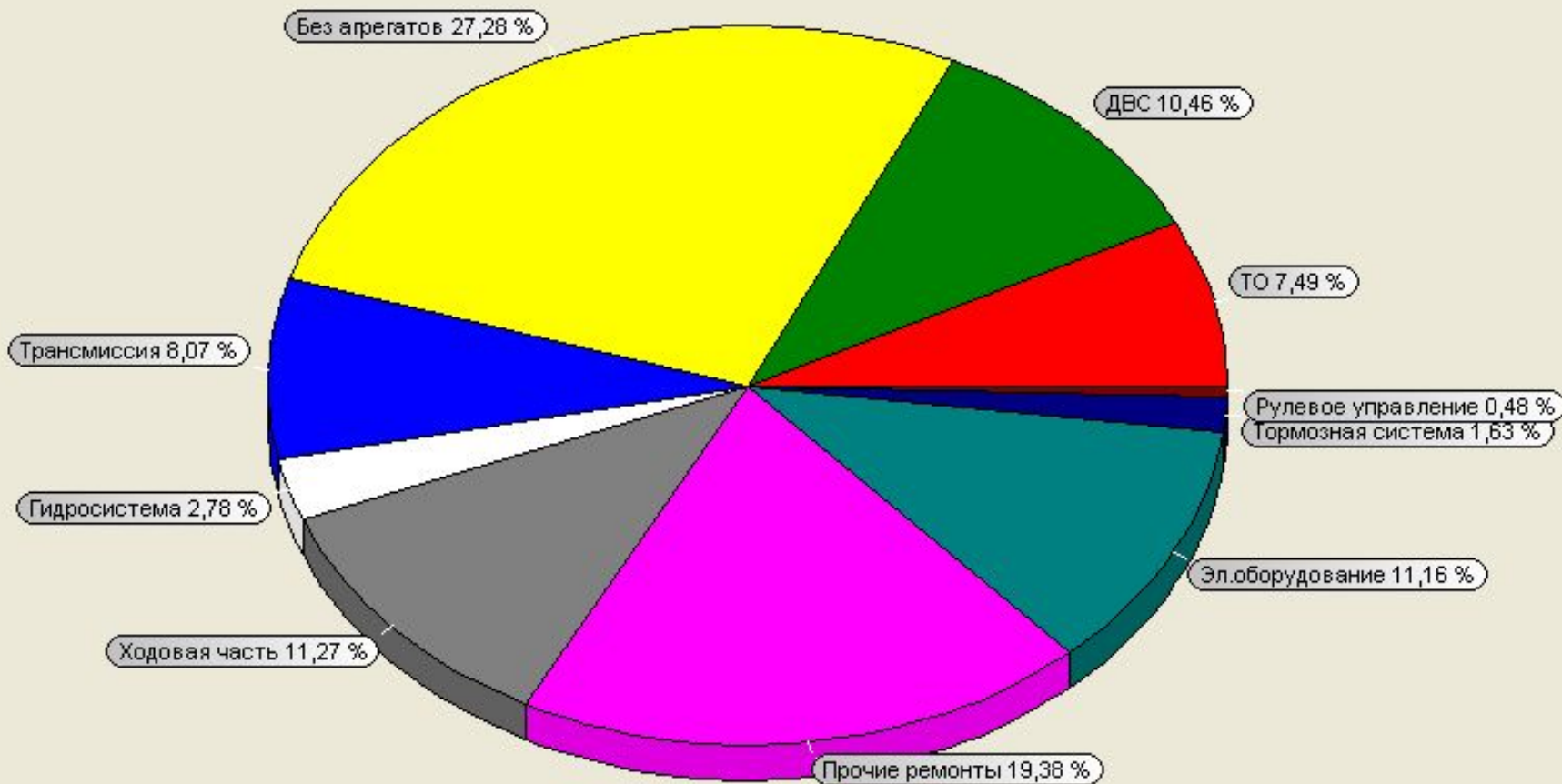
ИНТЕЛЛЕКТУАЛЬНАЯ ПАНЕЛЬ ИП-01



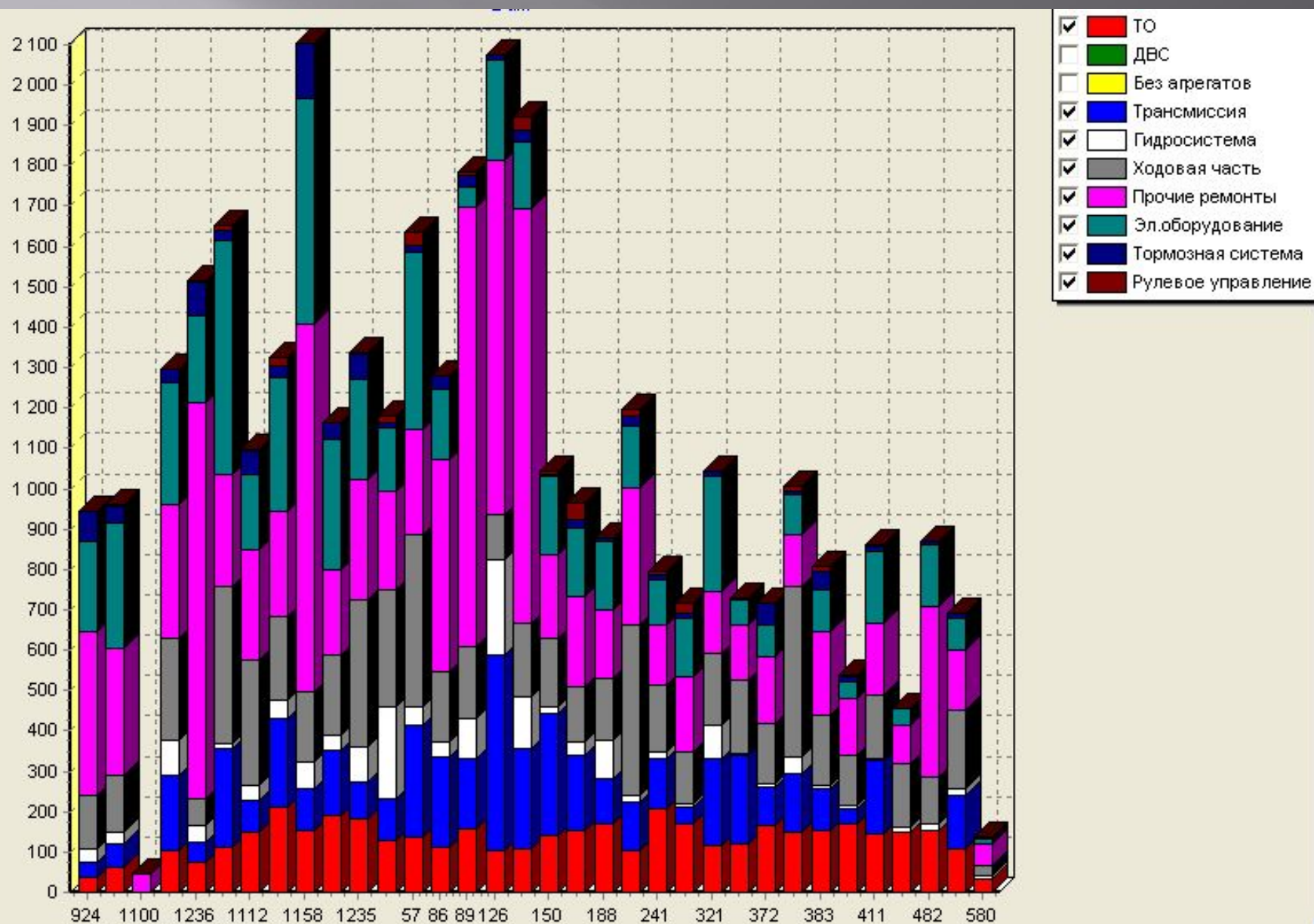
Зависимость размахов напряжений в несущих металлоконструкциях карьерного автосамосвала БелАЗ-75131 от скорости движения и высоты неровности микропрофиля в груженом состоянии



Причины простоев автосамосвалов за 2007 год

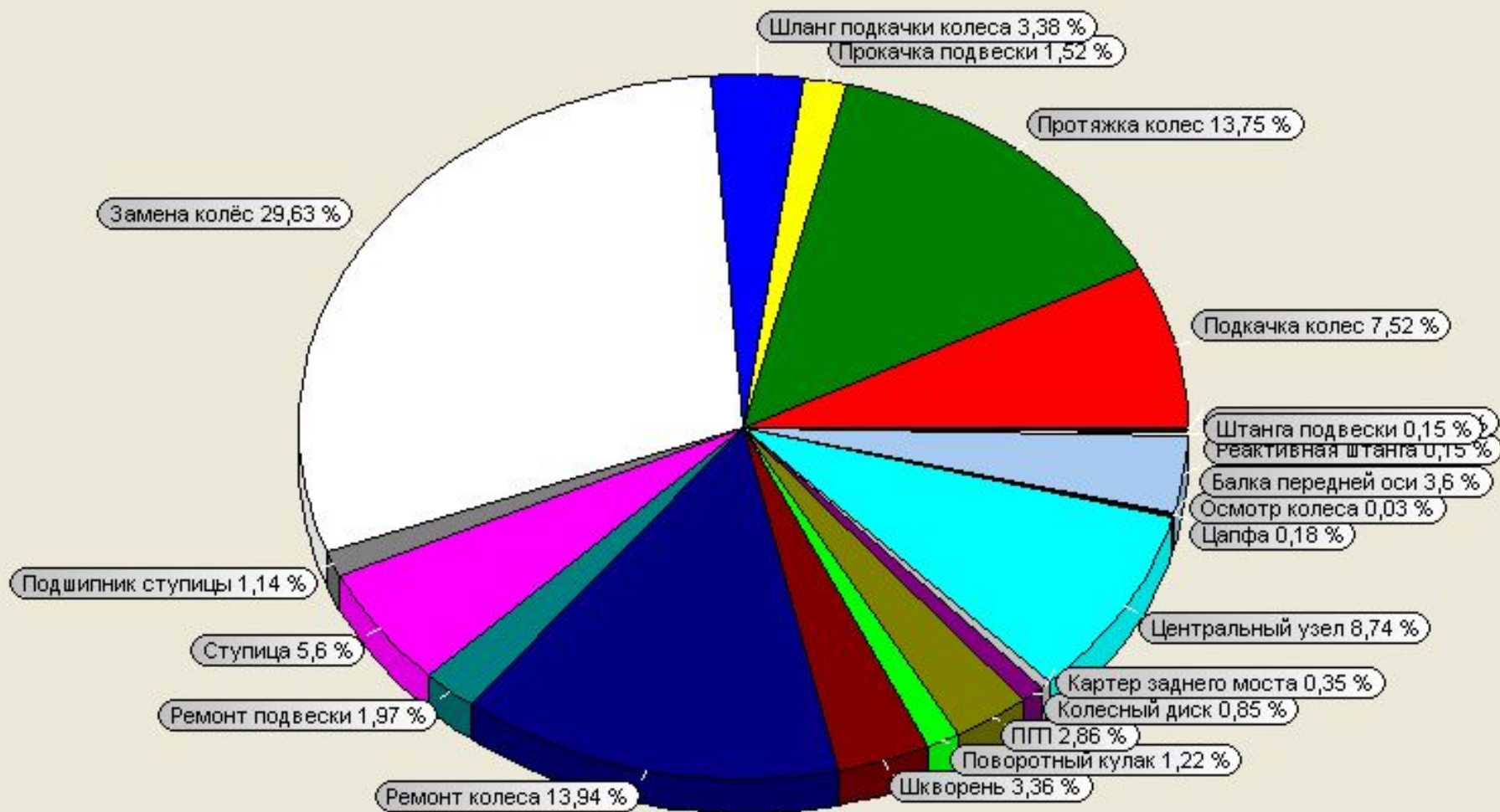


Детализация простоев



Детализация простоев автомобилей по причине "Ходовая часть" за период с 01.01.2006 по 01.01.2007

2 а/к



**Спасибо
за внимание!**